

Моделирование процесса копирования формы выступа на электроде–инструменте при электрохимической обработке

Муксимова Р.Р.

Уфимский государственный авиационный технический университет, Уфа

Задачи моделирования нестационарного электрохимического формообразования сводятся к решению двух краевых задач для определения аналитических функций комплексного переменного: конформного отображения параметрической плоскости на физическую и частных производных по времени координат точек межэлектродного пространства. Каждая из функций ищется в виде суммы известной функции с особенностями и двух неизвестных функций, определяемых с помощью формул Шварца или Келдыша–Седова. Одна из неизвестных функций предназначена для описания формы электрода–инструмента, вторая — обрабатываемой поверхности. Представлены результаты численного решения задач с электродом в виде круга и пластины.

1. Введение

Применение численно-аналитических методов для моделирования нестационарной электрохимической обработки (ЭХО) до настоящего времени ограничивалось решениями задач с точечным, полубесконечным пластинчатым [1, 2], криволинейным гладким [3] и плоским со щелью [4,5] электрод-инструментом (ЭИ). Для моделирования процесса прорезания пазов ЭИ в форме круга или другой ограниченной формы необходимо существенное видоизменение методов.

2. Постановка задачи

Рассмотрим нестационарную задачу электрохимического формообразования с помощью ЭИ, представляющего собой круг радиуса R (рис. 1). ЭИ заглубляется в заготовку со скоростью V_{et} под прямым углом к поверхности. Начальный зазор CD равен S_0 .

Поверхности электродов считаются эквипотенциальными: на катоде потенциал $\Phi = -U$ (где U — напряжение), на аноде $\Phi = 0$, поэтому форма области МЭП на плоскости комплексного потенциала W представляет собой прямоугольник (рис. 2).

Скорость электрохимического растворения $V_{etm} = \frac{dY_C}{dt}$ локально определяется законом Фарадея

$$V_{etm} = \eta k E_n, \quad (1)$$

где t — время; η — анодный выход по току; k —

электрохимическая постоянная; E_n — нормальная к анодной поверхности составляющая напряженности электрического поля.

Перейдем к безразмерным величинам z, x, y, τ и w , где $l = k\eta U/V_{et}$ (величина стационарного зазора в задаче об обработке плоским горизонтальным ЭИ):

$$\begin{aligned} z &= Z/l, & x &= X/l, & y &= Y/l, \\ \tau &= \frac{V_{et}}{l} t = k\eta_0 U t/l^2, & w &= \frac{W}{U}. \end{aligned} \quad (2)$$

Тогда

$$v_{et} = -\frac{dy_C}{d\tau} = -\frac{1}{l} \frac{dY_C}{V_{et} dt} = \frac{V_{et}}{V_{et}} = 1. \quad (3)$$

3. Краевые условия

В [1–6] закон Фарадея (1) с учетом (2) преобразован к виду

$$\Im \left(\frac{\partial z}{\partial \sigma} \frac{\partial z}{\partial \tau} \right) = -\Im \frac{\partial w}{\partial \sigma}, \quad (4)$$

где $z(\chi, \tau), \frac{\partial z}{\partial \tau}(\chi, \tau), w(\chi, \tau)$ — аналитические функции некоторого комплексного параметра $\chi = \sigma + i\nu$.

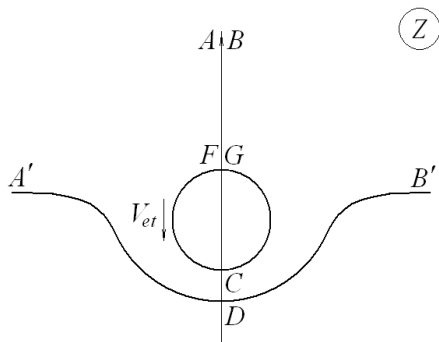


Рис. 1. Схема межэлектродного пространства (МЭП)

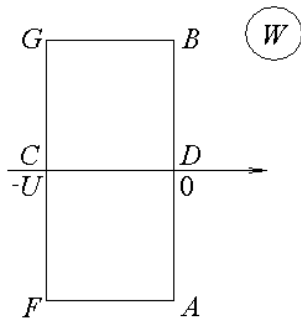


Рис. 2. Форма образа МЭП на плоскости комплексного потенциала

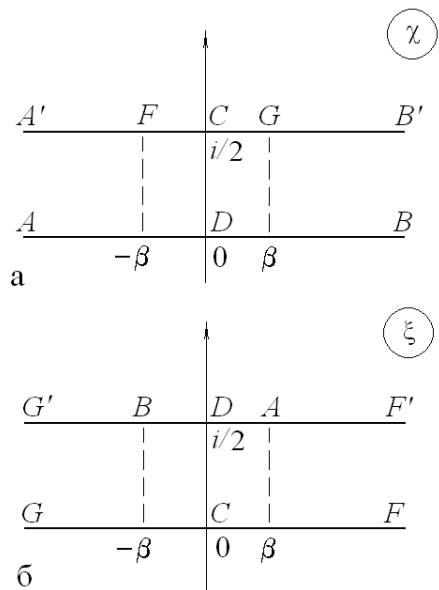


Рис. 3. Формы образов МЭП на параметрических плоскостях χ и ξ

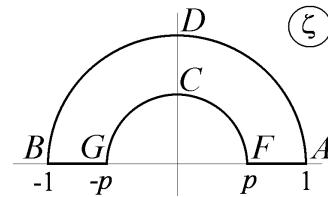


Рис. 4. Форма образа МЭП на параметрической плоскости ζ

4. Численный метод

Выберем в качестве параметрической переменную χ , область изменения которой представляет собой горизонтальную полосу единичной ширины (рис. 3(a)). Конформное отображение параметрической плоскости χ на плоскость комплексного потенциала удобнее определять через переменную ζ (рис. 4):

$$\chi = \frac{1}{\pi} \left(\ln \frac{\zeta - 1}{\zeta + 1} - i \frac{\pi}{2} \right) + \frac{2}{\pi} \sum_{m=1}^{\infty} \frac{1}{2m-1} \frac{p^{2m-1} (\zeta^{2m-1} + \zeta^{-2m+1})}{p^{2m-1} - p^{-2m+1}}. \quad (5)$$

Комплексный потенциал и его производная равны

$$W = -\frac{U}{\ln p} \left(\ln \zeta - i \frac{\pi}{2} \right), \quad \frac{\partial W}{\partial \chi} = -\frac{U}{\ln p} \frac{1}{\zeta} \left(\frac{\partial \chi}{\partial \zeta} \right)^{-1}. \quad (6)$$

Представим функцию, конформно отображающую полосу плоскости χ на область МЭП физической плоскости в неподвижной (относительно тела заготовки) системе координат в виде суммы

$$z(\chi, \tau) = g(\tau) sh\pi\chi + z_a(\chi, \tau) + z_c(\xi(\chi), \tau), \quad (7)$$

где первое слагаемое при $g > 0$ конформно отображает полосу плоскости χ на верхнюю полуплоскость с разрезом, проведенным вверх от точки $0 + ig$ до бесконечности; $z_a(\chi, \tau)$ — аналитическая в области D_χ и непрерывная в ее замыкании \bar{D}_χ функция, определяющая отличие формы обрабатываемой поверхности от прямолинейной (при $\chi = \sigma + i \Im z_a(\chi, \tau) = 0$); $z_c(\xi, \tau)$ — аналитическая в полосе D_ξ (рис. 3(б)) и непрерывная в ее замыкании \bar{D}_ξ функция, предназначенная для описания формы ЭИ (при $\xi = \omega + i/2 \Im z_c(\xi, \tau) = 0$) (рис. 3(б)). Связь ξ и χ :

$$\chi = \frac{1}{2\pi} \ln \frac{e^{2\pi\xi} + e^{2\pi\beta}}{e^{2\pi\xi} e^{2\pi\beta} + 1} + \frac{i}{2}, \quad \xi = \frac{1}{2\pi} \ln \frac{e^{2\pi\chi} + e^{2\pi\beta}}{e^{2\pi\chi} e^{2\pi\beta} + 1} + \frac{i}{2}. \quad (8)$$

Из (8) найдем ординату точки C электрод-инструмента:

$$\Im z \left(\frac{i}{2}, \tau \right) = g(\tau) + \Im z_c(0, \tau) = s_0 - \tau, \quad (9)$$

$$\frac{dg}{d\tau} = -1 - \Im \frac{\partial}{\partial \tau} z_c(0, \tau)$$

Допустим, ордината точки G электрод-инструмента равна H . Тогда

$$\frac{H}{l} = \frac{H_0}{l} - \tau = g(\tau) \operatorname{ch}(\pi\beta(\tau)) + \frac{1}{i} \left\{ z_a \left(\beta(\tau) + \frac{i}{2}, \tau \right) + z_c(\infty, \tau) \right\}, \quad (10)$$

где $\beta(\tau)$ — образ точки G , определяемый из этого уравнения.

Функция $z_a(\chi, \tau)$ определяется следующим образом. Будем искать решение на границе $\chi = \sigma + i0$ в узловых точках σ_m ($m = 0, \dots, n$). Заданными на каждом временном шаге будут значения $\Im z_a(\sigma_m, \tau_j) = y_m$. Примем $\Im z_a(\sigma_n, \tau) = 0$, поскольку $z_a(\sigma, \tau)$ быстро (как экспонента) убывает при $\sigma \rightarrow \infty$. Значения $\Im z_a(\sigma, \tau)$ в промежуточных между узловыми точками найдем с помощью кубического сплайна, имеющего две непрерывные производные.

Поскольку $z_a(\chi, \tau)$ — аналитическая функция, имеющая чисто мнимые значения на прямой $\Im \chi = 1/2$, аналитически продолжим ее вверх на полосу единичной ширины. В силу принципа симметрии $\Im z_a(\sigma + i, \tau) = \Im z_a(\sigma + i0, \tau)$. Для восстановления функции $z_a(\chi, \tau)$ используем формулу Шварца

$$z_a(\chi, \tau) = \int_0^\infty \Im z_a(\sigma, \tau) \frac{sh\pi\chi d\sigma}{ch\pi\sigma - ch\pi\chi} + \int_0^\infty \Im z_a(\sigma, \tau) \frac{sh\pi\chi d\sigma}{ch\pi\sigma + ch\pi\chi}. \quad (11)$$

Производная $\Im \frac{\partial z_a}{\partial \sigma}(\sigma, \tau) = -\Im \frac{\partial z_a}{\partial \sigma}(-\sigma, \tau)$, тогда

$$\frac{\partial z_a}{\partial \chi} = \int_0^\infty \Im \frac{\partial z_a}{\partial \sigma}(\sigma, \tau) \frac{sh\pi\sigma}{ch\pi\sigma - ch\pi\chi} d\sigma - \int_0^\infty \Im \frac{\partial z_a}{\partial \sigma}(\sigma, \tau) \frac{sh\pi\sigma}{ch\pi\sigma + ch\pi\chi} d\sigma. \quad (12)$$

Функция $z(\xi, \tau)$ получается аналогичным образом. Будем искать решение на границе $\xi = \omega$ в узловых точках ω_m ($m = 0, \dots, n$). Искомыми будут значения $\Re z_c(\omega_m, \tau_j) = \bar{x}_m$. Примем $\Re z_c(\omega_n, \tau) = 0$.

Значения $\Re z_c(\omega, \tau)$ в промежуточных между узловыми точками найдем с помощью кубического сплайна $P_c(\sigma)$, имеющего две непрерывные производные.

Отметим, что $z_c(\xi, \tau)$ — аналитическая функция, имеющая чисто действительные значения на отрезке $\Im \xi = 1/2$, $-\beta \leq \Re \xi \leq \beta$ (анод BDA) и чисто мнимые значения на лучах $\Im \xi = 1/2$, $\Re \xi \leq -\beta$ и $\Re \xi = 1/2$, $\Re \xi \geq \beta$ (разрез GB, AFl).

Для восстановления функции $z_c(\xi, \tau)$ используем формулу Келдыша–Седова:

$$\frac{z_c(\xi, \tau)}{G(\xi)} = \int_0^\infty \Im \left[\frac{z(\omega, \tau)}{G(\omega)} \right] \frac{sh\pi\omega d\omega}{ch\pi\omega - ch\pi\xi} + \int_0^\infty \Im \left[\frac{z(\omega, \tau)}{G(\omega)} \right] \frac{sh\pi\omega}{ch\pi\omega + ch\pi\xi} d\omega - g_1(\tau), \quad (13)$$

$$G(\xi) = sh(\pi\chi) = \frac{i}{2} \left(u + \frac{1}{u} \right), \quad u = \sqrt{\frac{e^{2\pi\xi} + e^{2\pi\beta}}{e^{2\pi\xi} e^{2\pi\beta} + 1}},$$

$$g_1(\tau) = 2 \int_0^\infty \Im \left[\frac{z(\omega, \tau)}{G(\omega)} \right] \frac{sh\pi\omega ch\pi\omega}{ch^2\pi\omega + sh^2\pi\beta} d\omega.$$

Отметим, что слагаемое $g_1(\tau) G(\xi)$, аналогичное слагаемому в (7), введено так, чтобы функция $z_c(\xi, \tau)$ не имела особенностей в точках A и B .

Производная $\frac{\partial z_c}{\partial \omega}(\omega, \tau)$ вычисляется следующим образом: с помощью дифференцирования построенного сплайна $P_c(\omega)$ вычисляются значения производных $\frac{\partial x_c}{\partial \omega}(\omega, \tau)$. По полученным с помощью (13) значениям $y_c(\omega, \tau)$ строится сплайн $P_{y_c}(\omega)$, дифференцированием которого получают производные $\frac{\partial y_c}{\partial \omega}(\omega, \tau)$.

5. Алгоритм численного решения

Нестационарная задача сводится к решению системы обыкновенных дифференциальных уравнений и решается численным методом. При этом на каждом временном шаге $\tau_j = j\Delta\tau$, $j = 1, 2, \dots, k$ решаются задачи конформного отображения полосы параметрической плоскости χ на физическую плоскость z . При этом задача конформного отображения в полном объеме решается только при $\tau = 0$. Значения переменных $y_m(\tau_{j+1})$ и $\bar{x}_m(\tau_{j+1})$ на следующем шаге по времени вычисляются с помощью частных производных $\frac{\partial y_a}{\partial \tau}(\sigma_m, \tau_j)$, $\frac{\partial x_c}{\partial \tau}(\omega_m, \tau_j)$. Частные производные по времени определяются при решении краевой задачи: найти частную производную $\frac{\partial z}{\partial \tau}(\chi, \tau_j)$ как аналитическую функцию комплексного параметра χ , удовлетворяющую краевому условию (4).

Для вычисления производной $\frac{\partial z_a}{\partial \tau}(\chi, \tau_j)$ применяется способ, аналогичный применяемому для определения конформного отображения $z_a(\chi, \tau_j)$. Искомыми параметрами на каждом временном шаге $\tau_j = j\Delta\tau$ будут значения $\Im \frac{\partial z_a}{\partial \tau}(\sigma_m, \tau_j) = q_m$. Значения $\Im \frac{\partial z_a}{\partial \tau}(\sigma, \tau_j)$ в промежуточных между узловыми точками найдем с помощью кубического сплайна $Q(\sigma, \tau)$. Для восстановления $\frac{\partial z_a}{\partial \tau}(\chi, \tau_j)$ используем формулу Шварца, аналогичную (11), где вместо $\Im z_a(\sigma, \tau)$ используется $Q(\sigma, \tau)$.

Для вычисления производной $\frac{\partial z_c}{\partial \tau}(\xi, \tau_j)$ (χ фиксировано) также применяется способ, аналогичный применяемому для определения конформного отображения $z_c(\xi, \tau_j)$. Искомыми параметрами на каждом временном шаге $\tau_j = j\Delta\tau$ будут значения $\Re \frac{\partial z_c}{\partial \tau}(\omega_m, \tau_j) = r_m$. Значения $\Re \frac{\partial z_c}{\partial \tau}(\omega, \tau_j)$ в промежуточных между узловыми точками найдем с помощью кубического сплайна $R(\omega, \tau)$. Для восстановления $\frac{\partial z_c}{\partial \tau}(\xi, \tau_j)$ используем формулу Келдыша-Седова, аналогичную (13) (с учетом того, что $\frac{\partial}{\partial \tau} G(\xi) = \frac{\partial}{\partial \tau} sh(\pi\xi) = 0$):

$$\begin{aligned} \frac{\partial z_c}{\partial \tau}(\xi, \tau) &= -\frac{dg_1}{d\tau}(\tau) + \\ &+ \int_0^\infty \Im \left[\frac{\frac{\partial z_c}{\partial \tau}(\omega, \tau)}{G(\omega)} \right] \frac{sh\pi\omega d\omega}{ch\pi\omega - ch\pi\xi} + \\ &+ \int_0^\infty \Im \left[\frac{\frac{\partial z_c}{\partial \tau}(\omega, \tau)}{G(\omega)} \right] \frac{sh\pi\omega d\omega}{ch\pi\omega + ch\pi\xi} \end{aligned} \quad (14)$$

где $\frac{dg_1}{d\tau}(\tau) = 2 \int_0^\infty \Im \left[\frac{\frac{\partial z_c}{\partial \tau}(\omega, \tau)}{G(\omega)} \right] \frac{sh\pi\omega ch\pi\omega}{ch^2\pi\omega + sh^2\pi\beta} d\omega$.

С учетом (8)–(14) определяются производные $\frac{\partial z}{\partial \tau}$.

Значения q_m, r_m , определяются методом коллокаций по краевому условию (4):

$$\Im \left[\frac{\partial z}{\partial \tau}(\sigma_m) \frac{\overline{\partial z}}{\partial \sigma}(\sigma_m) \right] + \frac{\partial \psi}{\partial \sigma}(\sigma_m) = 0, \quad (15)$$

$m = 0, \dots, N - 1.$

На катоде краевое условие с учетом (21), (22) имеет вид

$$\Im \left[\left(\frac{\partial z}{\partial \tau}(\omega_m) + i \right) \frac{\overline{\partial z}}{\partial \sigma}(\omega_m) \right] = 0, \quad (16)$$

$m = 0, \dots, N - 1.$

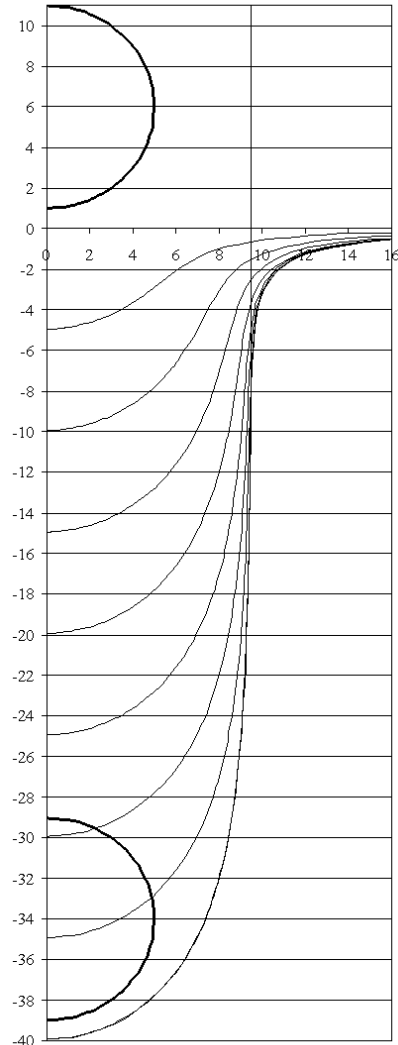


Рис. 5. Формы нестационарных поверхностей при обработке круглым ЭИ для $s_0=1, \Delta\tau = 5, r = 5$

После решения системы линейных алгебраических уравнений (15), (16) и определения частных производных $\Im \frac{\partial z_a}{\partial \tau} = q_m, \Re \frac{\partial z_c}{\partial \tau} = r_m$, производится шаг по времени по методу предиктор-корректор второго порядка точности.

Далее снова повторяется процесс вычисления $\frac{\partial z_a}{\partial \chi}, \frac{\partial z_c}{\partial \xi}, q_m, r_m$ и т.д.

6. Численные результаты

Численные результаты представлены на рис. 5–7. На рис. 5 показаны формы поверхности при обработке круглым ЭИ с радиусом $r = R/l = 5$ при $\eta = \text{const}$ ($\Delta\tau$ — шаг по вре-

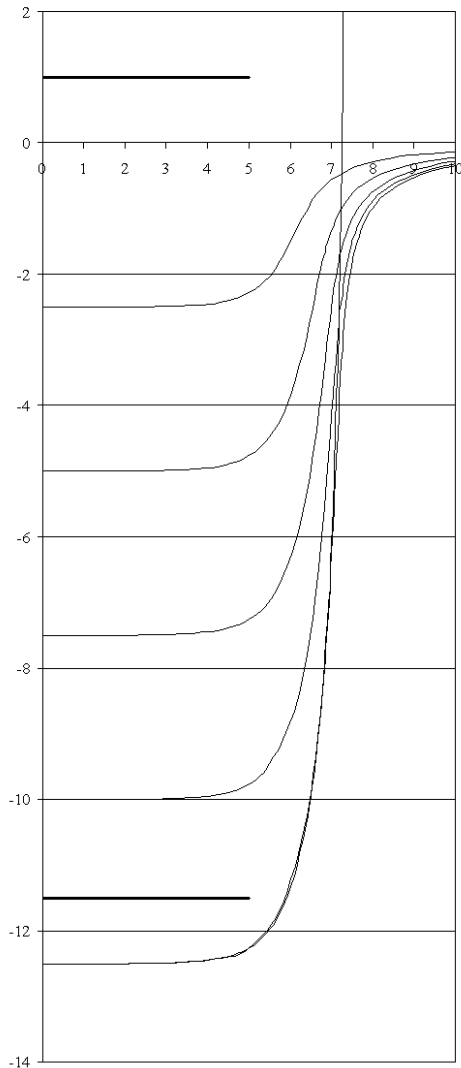


Рис. 6. Формы нестационарных поверхностей при обработке горизонтальным пластинчатым ЭИ для $l = L/R = 5$, $s_0 = 1$, $\Delta\tau = 2.5$

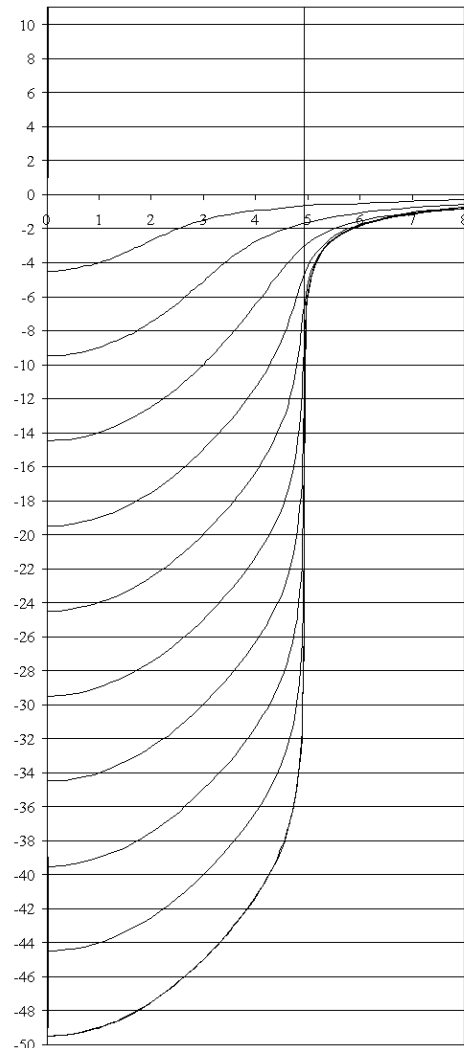


Рис. 7. Формы нестационарных поверхностей при обработке вертикальным пластинчатым ЭИ для $L = 10$, $s_0 = 1$, $\Delta\tau = 5$

мени). Картина в системе координат, связанной с неподвижной асимптотической поверхностью анода, показывает ход процесса растворения и позволяет увидеть установление стационарной формы обрабатываемой поверхности (которая была рассчитана заранее [5]). При уменьшении r в пределе получается задача обработки точечным ЭИ [5].

При рассмотрении форм ЭИ, отличных от круглой, имеет смысл рассмотреть граничные формы, которыми являются пластинчатые ЭИ.

Результаты численного решения при обработке горизонтальным пластинчатым ЭИ длины $2L$ для $\eta = \text{const}$ приведены на рис. 6.

При $L \rightarrow \infty$ приходим к задаче обработки

полубесконечным ЭИ. Стационарное решение для этой задачи имеет вид

$$x = \frac{1}{\pi} \left(2 \ln(y + 1) + 2 \ln \frac{\pi}{2} + 2 \right).$$

Формы нестационарной поверхности при обработке вертикальным пластинчатым ЭИ длины L приведены на рис. 7 для $\eta = \text{const}$. При $L \rightarrow 0$ формы приближаются к соответствующим формам для точечного ЭИ.

7. Заключение

В данной работе решены нестационарные задачи прорезания пазов круглым и пластинчатым (горизонтальным и вертикальным) ЭИ. Для срав-

нения рассматривались предельные (по форме ЭИ) случаи формообразования точечным и плоским неограниченным вертикальным и горизонтальным ЭИ.

Во всех рассмотренных примерах наблюдалось установление стационарных процессов.

Список литературы

- [1] Zhitnikov V.P., Fedorova G.I., Zinatullina O.R. Simulation of non-stationary processes of electrochemical machining // *Journal of Materials Processing Tech.* 2004. Vol. 149/1–3. Elsevier. Pp. 398–403.
- [2] Zhitnikov V.P., Fedorova G.I., Sherykhalina N.M., Urakov A.R. Numerical investigation of non-stationary electrochemical shaping based on an analytical solution of the Hele-Shaw problem // *Journ. Eng. Math.* 2006. Vol. 55, Nos. 1–4. Special Issue. A taste of engineering mathematics from present-day Russia. Pp. 255–276.
- [3] Житников В.П., Федорова Г.И. Квазианалитический метод решения плоских задач нестационарного электрохимического формообразования // *Вестник УГАТУ.* 2006. Т. 7, № 1(14). С. 110–117.
- [4] Шерыхалина Н.М., Поречный С.С. Оценка параметров формы выступа при нестационарной электрохимической обработке // *Тезисы докладов Российской конф. «Многофазные системы: природа, человек, общество, технологии».* Уфа: Нефтегазовое дело, 2010. С. 186–187.
- [5] Поречный С.С., Муксимова Р.Р., Маннапов А.Р. Моделирование процесса формообразования выступов при электрохимической обработке // *Вестник УГАТУ.* 2010. Т. 14, № 2(37). С. 195–201.
- [6] Житников В.П., Зайцев А.Н. Импульсная электрохимическая размерная обработка. М.: Машиностроение, 2008. 413 с.